

Поиск геофизических сигналов-предвестников
сейсмической активности
на Тянь-Шаньской высокогорной станции

А. Л. Щепетов

Физический институт РАН им. П. Н. Лебедева (Москва)

Н. М. Салихов

Институт Ионосферы (Алматы)

2019

Цель работы

Мониторинг состояния различных геофизических полей в сейсмически активных географических регионах и поиск характерных аномалий их поведения, которые имеют место **до** и во время сильных землетрясений

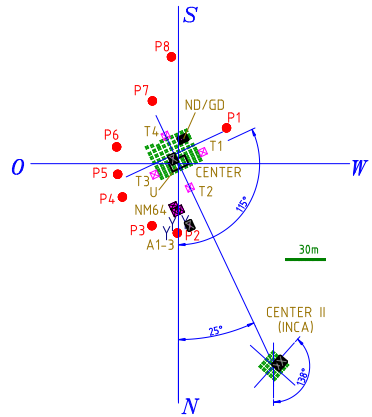
Место проведения

Тянь-Шаньская высокогорная научная станция ФИАН
и ее окрестности

Направления исследований

- ▶ мониторинг радиационного фона на ТШВНС
- ▶ регистрация сейсмических колебаний в акустическом диапазоне частот
- ▶ регистрация низкочастотных электромагнитных колебаний в диапазонах ОНЧ (1.5–12 кГц) и СНЧ ($\leqslant 100$ Гц)
- ▶ измерения допплеровского сдвига частоты радиосигналов, отраженных от ионосферы
- ▶ поиск корреляций между космическими лучами высокой энергии ($10^{14} – 10^{17}$ эВ) и сейсмическими сигналами литосферного происхождения

Комплекс детекторов Тянь-Шаньской станции



► CENTER-I:

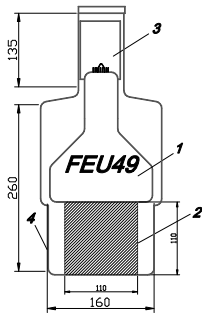
- * сцинтилляторы ШАЛ
- * адроны ШАЛ
- * направления ШАЛ (θ, ϕ)
- * подземелье (мюоны)
- * нейтроны & гамма

► CENTER-II:

- * сцинтилляторы ШАЛ
- * ионизационно-нейтронный калориметр INCA

Мониторинг радиационного фона: γ -детектор

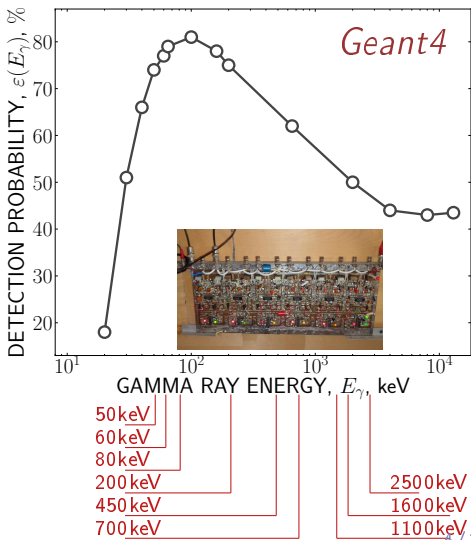
- внутреннее устройство



(1) – ФЭУ, (2) – кристалл NaI,
(3) – плата электроники, (4) –корпус из
алюминия толщиной 1 мм.



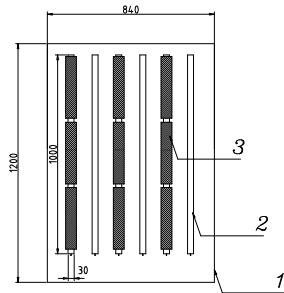
- эффективность γ -детектора & энергетические диапазоны



50keV
60keV
80keV
200keV
450keV
700keV
2500keV
1600keV
1100keV

Нейтронный детектор

► внутреннее устройство



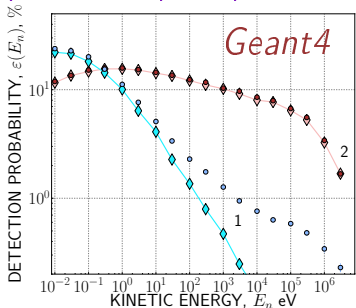
(1) – алюминий толщиной 1 мм,
(2) – газоразрядный счетчик
с наполнением ${}^3\text{He}$,
(3) – замедлитель нейтронов



► основная реакция



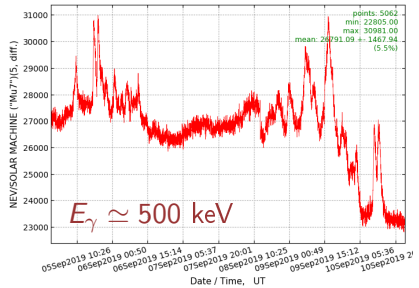
- процедура регистрации — подсчет суммарного числа импульсов, поступивших от счетчиков в течение некоторого фиксированного времени (ворот)
- эффективность регистрации



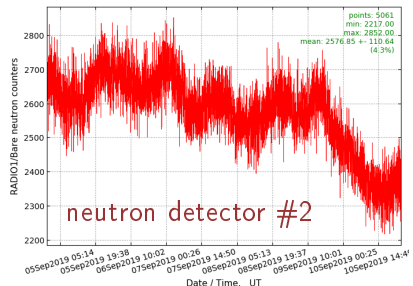
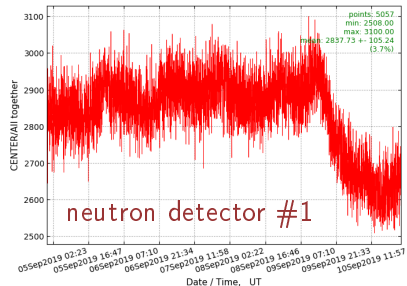
- (1) – открытый счетчик,
- (2) – счетчик внутри замедлителя из парафина толщиной 2 см

Типичные результаты радиационного мониторинга

► гамма-излучение



► тепловые нейтроны



● time resolution 100s

Подземная скважина ТШВНС



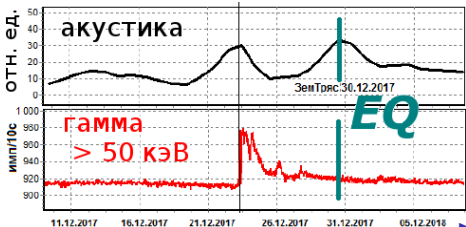
► установленная аппаратура:

- температурные датчики
- микрофоны на глубине 50 м и 100 м
- гамма-детектор
- нейтронный счетчик

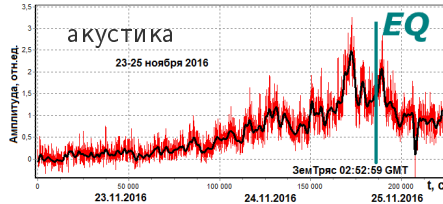
- полная глубина ~ 300 м
- автономное энергопитание

Мониторинг в периоды сейсмической активности

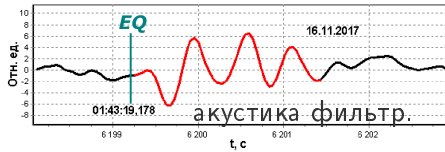
► 30 Dec 2017



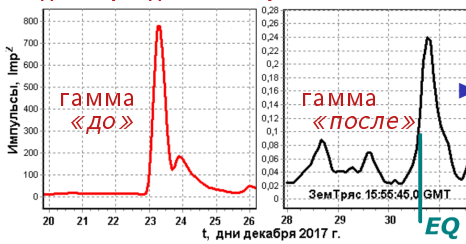
► 26 Nov 2016



► 16 Nov 2017



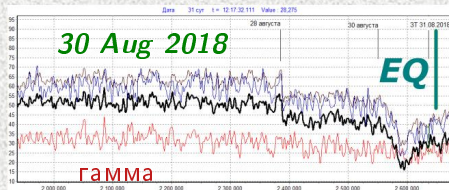
**мощность динамического спектра
для периодов 0.5–1 суток**



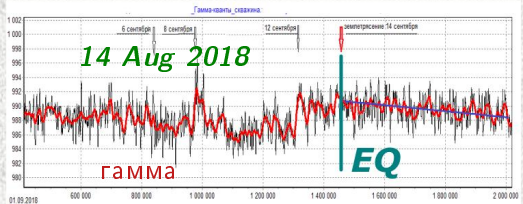
► 14 Sep 2018



Примеры аномальных возмущений интенсивности потока гамма-квантов в скважине и приземной атмосфере перед землетрясениями (M 4,8-5,8), произошедших в пределах радиуса Добропольского



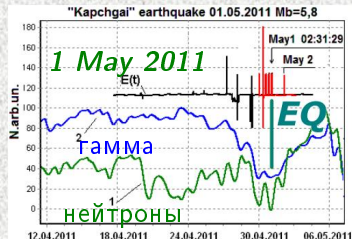
Резкое понижение 30 августа с последующим повышением ко дню землетрясения 31.08.2018 г. M_{4,8} наблюдалось как в скважине, так и приземной атмосфере. (~ в 50 км от эпицентра)



За 6 дней до землетрясения 14.08.2018 г. M_{5,2} возникли аномальные эффекты в вариациях интенсивности потока гамма-квантов в скважине и приземной атмосфере (южный берег оз. Иссык-Куль)



Эффект понижения потока гамма-квантов в приземной атмосфере зарегистрирован за 5 дней до основного толчка в 14.5 км от эпицентра землетрясения 15.03.2015 г. M_{5,1} (Кеминский очаг)



Снижением интенсивности потока тепловых нейтронов (1) и гамма-квантов (2) 30 апреля достигло минимальных значений, непосредственно перед землетрясением 01.05.2011 г. M_{5,8} произошло резкое повышение.

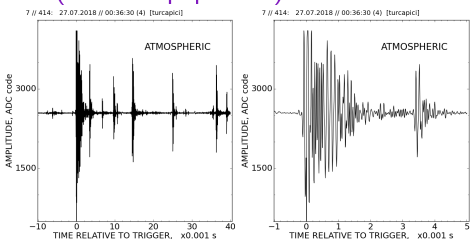
Детекторы низкочастотных электромагнитных колебаний

► расположение

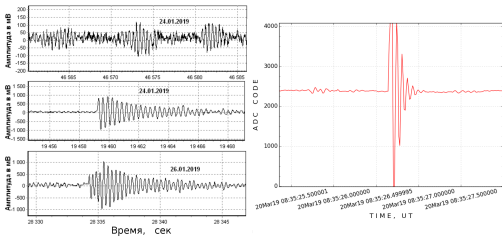


► типичный сигнал VLF

(«атмосферики»)

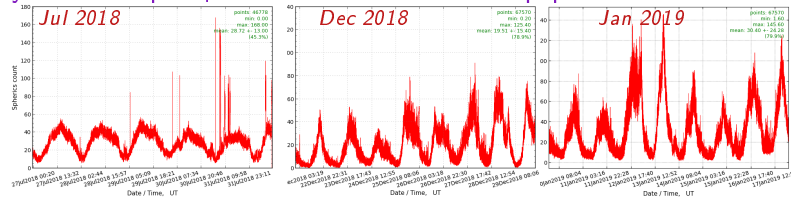


► сигналы SLF

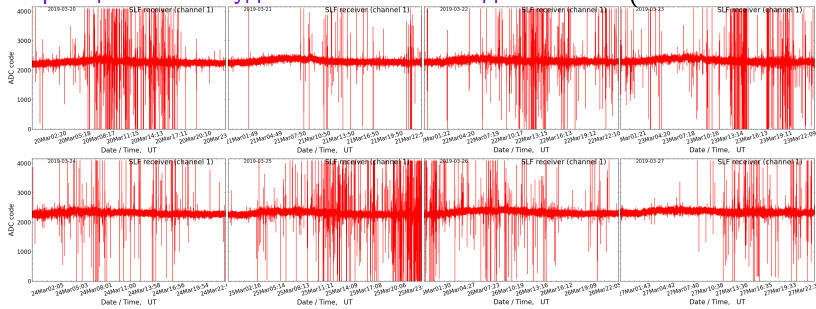


Типичные данные по электромагнитным излучениям

- суточная вариация интенсивности атмосфериков

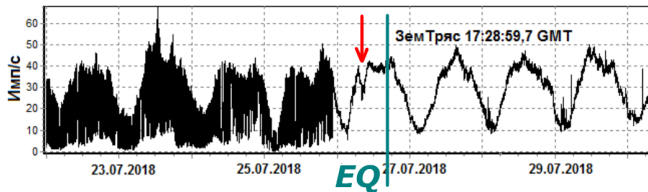


- вариации амплитуды сигнала в *SLF* диапазоне (20...27 Mar 2019)



Эффекты сейсмической активности

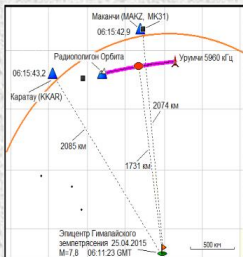
► 27 Jul 2018



► 14 Sep 2018

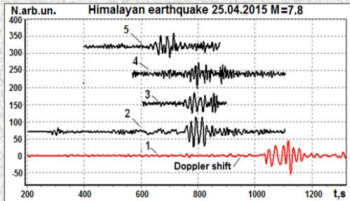


Допплеровский сдвиг отраженных радиосигналов

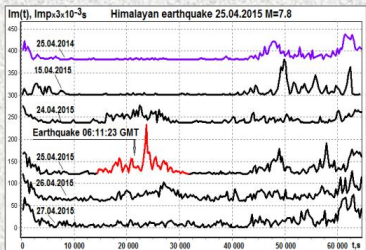


Отклик ионосфера на Гималайское землетрясение 25 апреля 2015 г.
M 7,8 по данным наземных
допплеровских наблюдений на
удалении ~ 1700 км от эпицентра
землетрясения

Схема расположения радиотрассы допплеровских измерений во время Гималайского землетрясения 25.04.2015г.



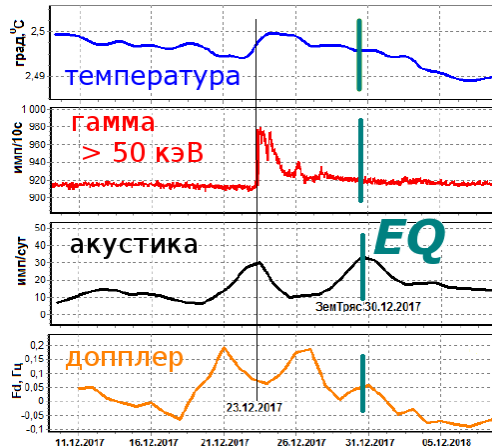
Отклик землетрясения в допплеровском сдвиге частоты ионосферного сигнала на наклонной радиотрассе Урумчи (КНР) - Радиополигон Орбита на удалении ~ 1700 км от эпицентра землетрясения.



Используя модифицированный метод допплеровского сдвига частоты сигнала накануне землетрясения удалось обнаружить необычные эффекты появления высокочастотной составляющей в вариациях ДСЧ, отраженного от ионосферы.

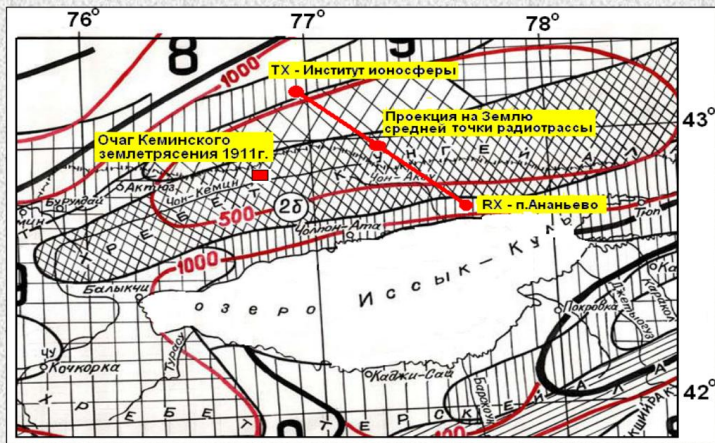
Эффекты сейсмической активности

► 30 Dec 2017

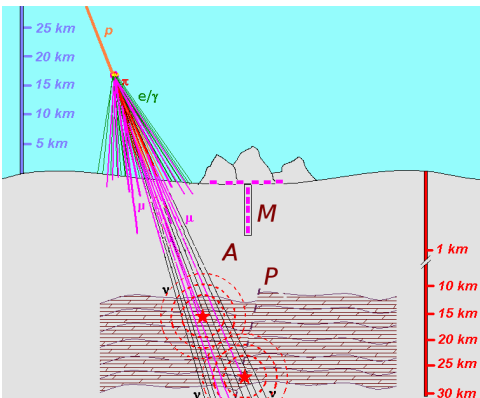


Выбор оптимального расположения Доплеровского ионозонда на наклонной радиотрассе над Кеминским очагом на территории Республики Казахстан и Кыргызской Республики

Из всех радиофизических методов зондирования ионосферы доплеровский метод обладает наибольшей чувствительностью при регистрации короткопериодных процессов (от единиц до сотен секунд)



Акустический сигнал от прохождения мюонов через сейсмически напряженную среду



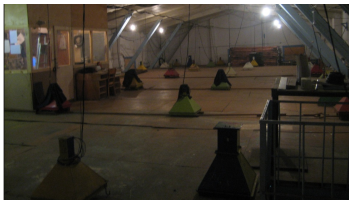
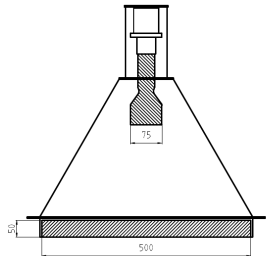
Chavroshkin, O. B. et al "Methods, results and perspectives of the high frequency seismic noise and vibrosignals" // 6th Rep IASPEL Comm. Microseismol. 18 IUGG, Hamburg, Germany, 1983

Царев, В. А. "О геофизических приложениях нейтринных пучков" // УФН, 1985, 147, 426.

Царев, В. А., Чечин, В. А.
"Атмосферные мюоны и
высокочастотные сейсмические
шумы" // Препринт ФИАН № 179,
1988

Gusev, G. A. et al "Cosmic rays as a new instrument of seismological studies" // Bull. Lebedev Phys. Inst., 2011, 38, 374

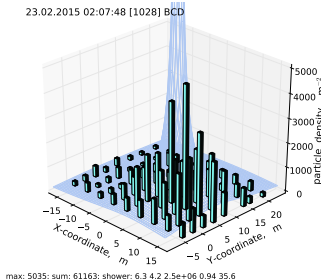
Установка для регистрации ШАЛ



- общая площадь центрального «ковра» 900 м^2
- 72 детектора с чувствительной площадью 0.25 м^2
- 16 периферийных детекторов на расстояниях $40 - 70 \text{ м}$ от центра
- диапазон измерения плотности потока частиц $1 - 10^5 \text{ м}^{-2}$

23.02.2015 02:07:48 [1028] VCD

- 2D аппроксимация функцией НКГ
 $\rightarrow (x, y, s, N_e)$
 $N_e \rightarrow N_\mu$

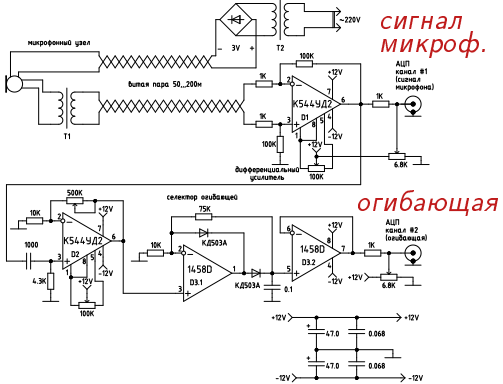


max: 5035; sum: 61163; shower: 6.3 4.2 2.5e+06 0.94 35.6

Акустический детектор в подземной скважине



► схема формирования сигнала

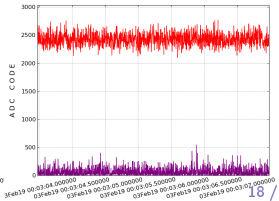
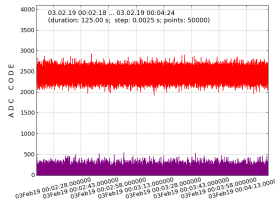


сигнал
микроф.

огибающая

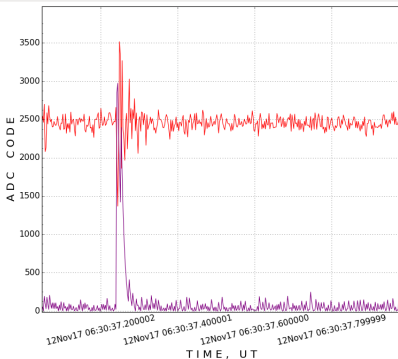
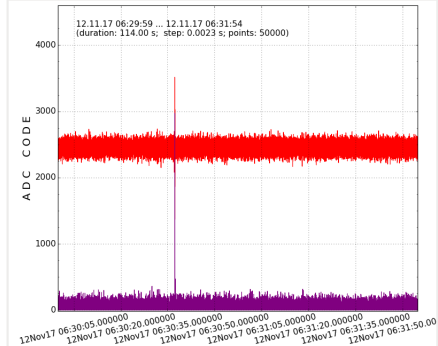
- глубина установки микрофона ~ 50 м
- чувствительность 20 мВ/Па в диапазоне частот 500–10000 Гц
- АЦП: 12 бит, 500 изм/с.

► пример акустической записи



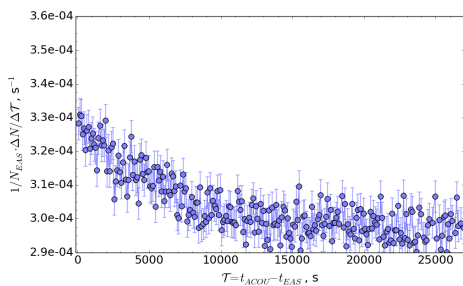
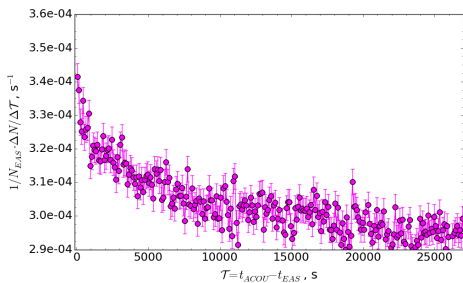
Импульсные сигналы от акустического детектора

- ▶ «акустические события»
 - кратковременные ($\sim 10^{-2} - 10^{-1}$ с) возрастания интенсивности микрофонного сигнала
- ▶ 2 сезона измерений «акустика + ШАЛ»:
 - 06.11.2017 — 23.04.2018
 - 02.11.2018 — 28.03.2019
 - (358 дней)



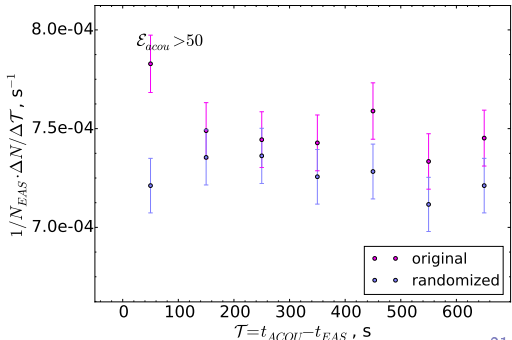
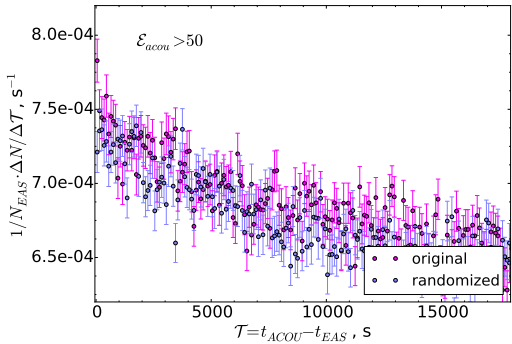
Анализ данных акустического детектора

- распределение временных задержек между ШАЛ и последующими акустическими событиями
- распределение задержек между случайными моментами времени и последующими акустическими событиями



Распределение временных задержек «ШАЛ-АКУСТИКА»

- ▶ ШАЛ с размером $N_e \gtrsim 5 \cdot 10^5$ (первичная энергия $E_0 \gtrsim 10^{15}$ эВ)
- ▶ расстояние от скважины до оси ШАЛ $R_{EAS} \lesssim 150$ м



ЗАКЛЮЧЕНИЕ

- ▶ на Тянь-Шаньской станции ФИАН разрабатывается практическая методика для непрерывной регистрации различных геофизических характеристик, позволяющих давать оценку текущего уровня сейсмической активности в окружающем станцию регионе.
- ▶ ряд уже полученных результатов, которые связаны с наблюдением эффектов, существенно опережающих последующие за ними сейсмические события, могли бы представлять интерес с точки зрения проблемы прогнозирования землетрясений.
- ▶ для подтверждения обнаруженных эффектов требуется продолжение систематических измерений и существенное увеличение статистики исследованных сейсмических событий.